

# El rol de la Topología Algebraica en las fases de la materia

Daniel Sheinbaum  
Conacyt - Fac. Química, UNAM

# Plan de la plática

- I: Comentarios generales
- II: Introducción rápida a la mecánica cuántica y análisis funcional
- III: Materia condensada con frontera y teoría K (\*para expertos)
- IV: Generalización y rol en matemática moderna (si hay tiempo)

PARTE I:

Comentarios

Generales

# Fases de la materia

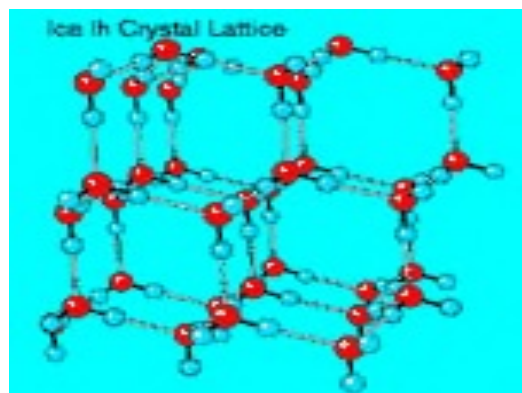
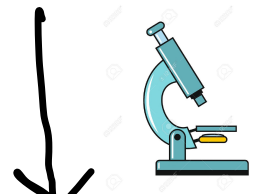
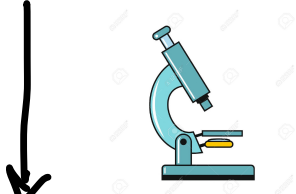
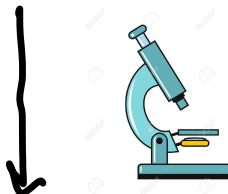
Hielo



Transición  
de fase

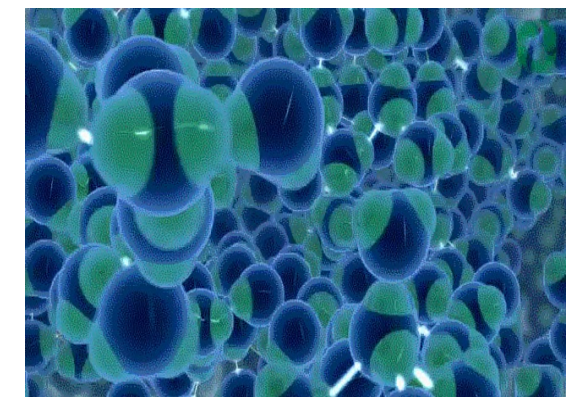
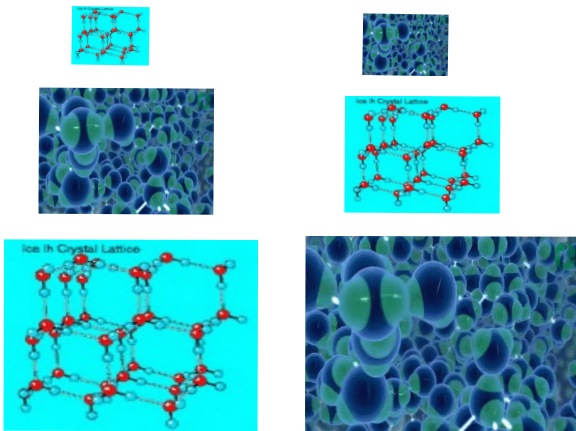


Agua



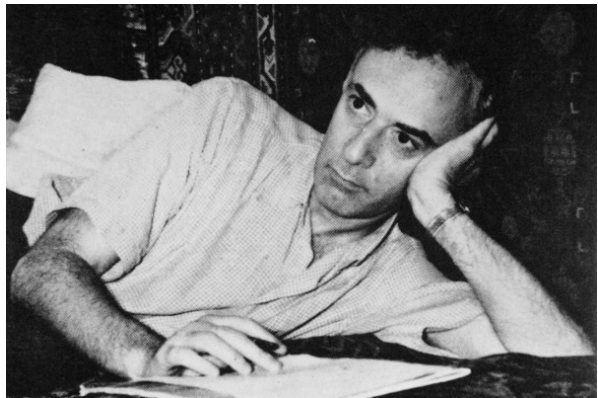
Simetría  
Discreta

Muy Sensible a !  
pequeños cambios !



Simetría continua  
en promedio

El agua está en un estado de la materia diferente al del hielo porque sus moléculas forman "patrones" con una simetría diferente.



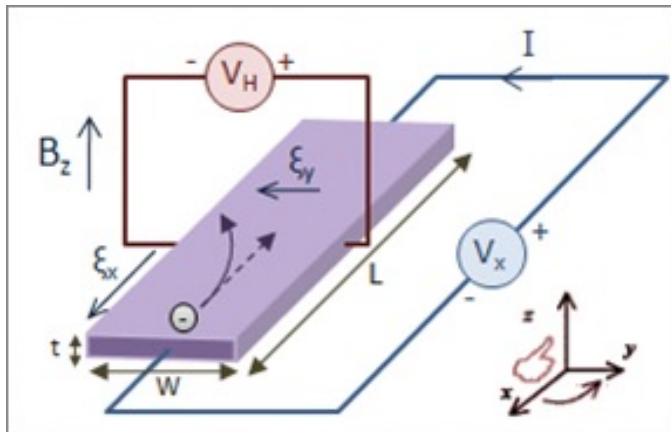
### Paradigma de Landau

“ Dos fases son diferentes porque tienen simetrías diferentes ”

Ó: “ Para pasar de una fase a otra tienes que perder/ganar una simetría ”

Ej: En 3 dimensiones hay 230 estructuras cristalinas con simetrías distintas.

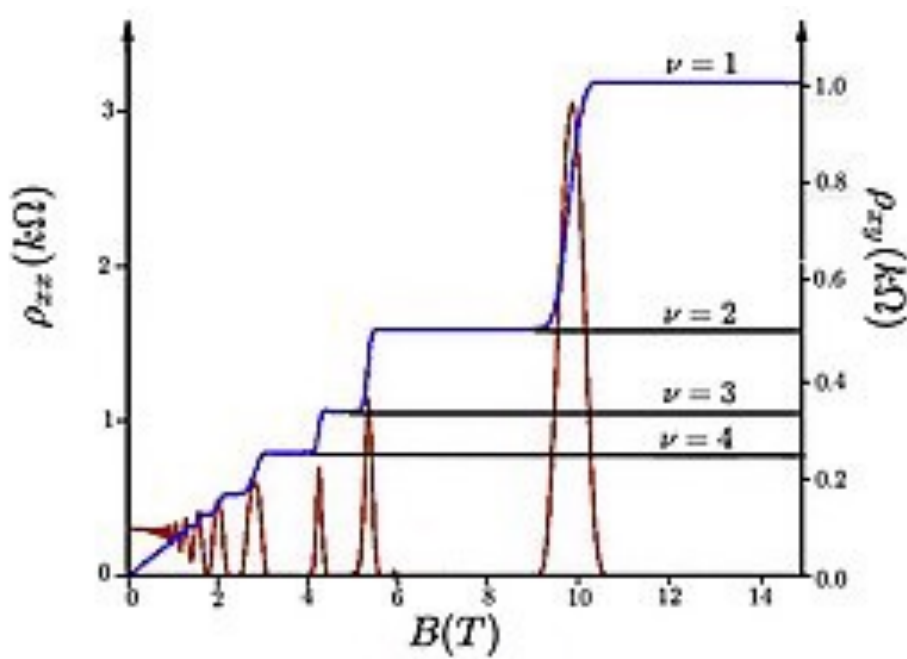
# 1980 Efecto Hall Cuántico



Campo Magnético muy

alto  $B_z \sim$  Tesla s

Muy bajas temperaturas  
 $T \sim 30^{\circ}\text{K}$



$$\vec{J} = \sigma \cdot \vec{E} ;$$

$$\sigma_{xx} = 0$$

$$\sigma_{xy} = \nu \frac{e^2}{h}, \nu \in \mathbb{Z}$$

Cuantizado

$$\pm 1 \times 10^{-9}$$

$e =$  Carga electron  
 $h =$  constante  
de  
Planck

$\frac{\partial \rho_{xx}}{\partial B} \rightarrow \infty$  , El sistema está en transición de fase  
 $B \xrightarrow{+} B_{\text{crit}}$

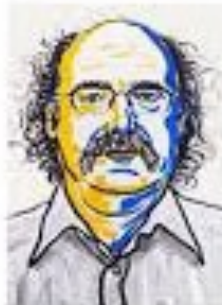
PERO

O △ No hay rompimiento de simetría ▽

## The Nobel Prize in Physics 2016



II: N. Elmehed, © Nobel  
Media 2016  
David J. Thouless  
Prize share: 1/2



II: N. Elmehed, © Nobel  
Media 2016  
F. Duncan M.  
Haldane  
Prize share: 1/4



II: N. Elmehed, © Nobel  
Media 2016  
J. Michael Kosterlitz  
Prize share: 1/4

O △ La diferencia está en Topología! (y topológica)  
¿Qué Topología de qué???



Charles Kane

SEGUIR

Professor of Physics, [University of Pennsylvania](#)  
Dirección de correo verificada de physics.upenn.edu

Condensed Matter Physics

ARTÍCULOS

CITADO POR

ACCESO PÚBLICO

TÍTULO	CITADO POR	AÑO
<a href="#">Colloquium: Topological insulators</a> MZ Hasan, CL Kane Reviews of modern physics 82 (4), 3045	15882	2010
<a href="#">Quantum spin Hall effect in graphene</a> CL Kane, EJ Mele Physical review letters 95 (22), 226801  <i>(También topológico)</i>	7092	2005
<a href="#">Z 2 topological order and the quantum spin Hall effect</a> CL Kane, EJ Mele Physical review letters 95 (14), 146802	6037	2005
<a href="#">Superconducting proximity effect and Majorana fermions at the surface of a topological insulator</a> L Fu, CL Kane Physical review letters 100 (9), 096407	4469	2008
<a href="#">Topological insulators in three dimensions</a> L Fu, CL Kane, EJ Mele Physical review letters 98 (10), 106803	4330	2007
<a href="#">Topological insulators with inversion symmetry</a> L Fu, CL Kane Physical Review B 76 (4), 045302	3861	2007

En 2005 el "BOOK" de las  
fases topológicas con el descubrimiento  
de los aislantes topológicos

Desde  
2016:  
35,492  
Es decir  
un área  
super  
activa

# PARTE II

Mecánica Cuántica

y

Análisis Funcional

**ADVERTENCIA:**

poco riguroso y omiso

# Repaso de física

$$\text{Energía Total} = \underset{\parallel}{\text{Energía cinética}} + \underset{\parallel}{\text{Energía potencial}}$$

$$E = \frac{1}{2} m \vec{V} \cdot \vec{V} + V(\vec{r}) ; \quad \vec{r} \in \mathbb{R}^d, \text{ posición} \\ \vec{V} \in \mathbb{R}^d, \text{ velocidad}$$

constante

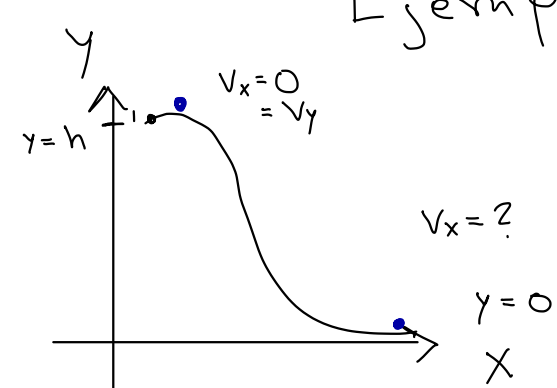
$$\frac{\vec{P} \cdot \vec{P}}{2m}, \quad \vec{P} = m\vec{V} \quad V: \mathbb{R}^d \rightarrow \mathbb{R}$$

Ejemplo:  $d=2, V(x,y) = mgY$

$$E = mgh + \cancel{\frac{m(0^2 + 0^2)}{2}} = mgh$$

$$\underset{\parallel}{E} = \cancel{mg(0)} + \frac{m}{2} (v_x^2 + v_y^2)$$

$$\Rightarrow v_x = \sqrt{2gh}$$



sistema:  $(\vec{r}(t), \vec{P}(t))$  tales que  
 $E(\vec{r}(t), \vec{P}(t)) = \text{constante}$

# Un Salto Cuántico

Clásico

$$(\vec{r}(t), \vec{p}(t))$$

$$\mathbb{R}^d \times \mathbb{R}^d$$

Cuántico

Función compleja

$$\psi : \mathbb{R}^d \rightarrow \mathbb{C}$$

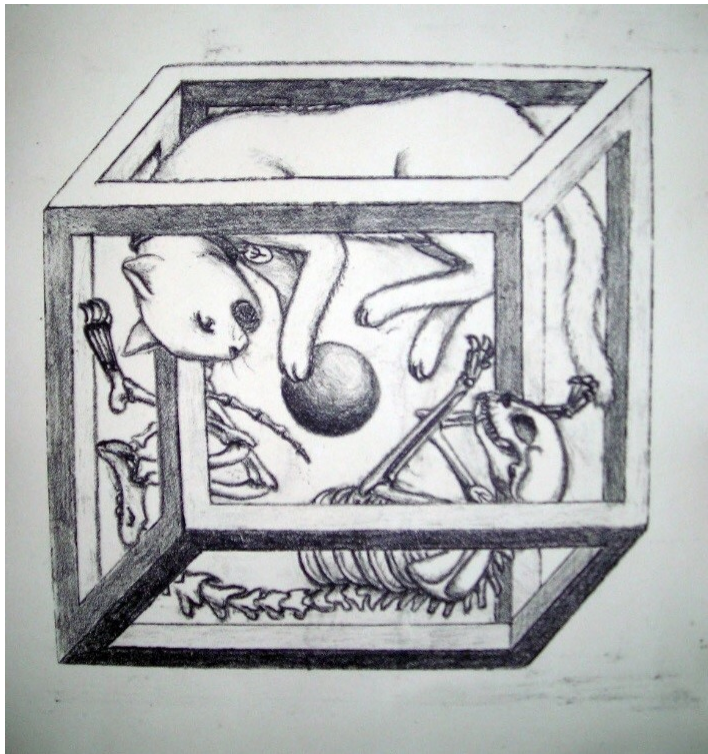
$$|\psi(\vec{r})|^2 d^d r \equiv \text{La probabilidad de encontrar a la partícula entre } \vec{r} \text{ y } \vec{r} + d\vec{r}$$

$\psi$  se le llama la función de Onda y conocerla es la forma de describir un estado cuántico.

Probabilidad de encontrar a la partícula en algún lugar de  $\mathbb{R}^d$ .

$$= \int_{\mathbb{R}^d} |\psi(\vec{r})|^2 d^d r < \infty$$

# Superposición



• ¿El gato de Schrödinger está vivo y muerto a la vez?

La interpretación estandar dice:

$$\Psi_{\text{gato}} = \frac{1}{\sqrt{2}} \Psi_{\text{muerto}} + \frac{1}{\sqrt{2}} \Psi_{\text{vivo}}$$

i.e. los estados se suman y producen uno nuevo, es decir, los estados cuánticos se portan como vectores !!

A  $L^2(\mathbb{R}^d; \mathbb{C})$  se le llama espacio  
de Hilbert "separable" (base ortonormal)  
numerable

clásico

$V(\vec{r})$

función real

$\vec{P} = (P_1, \dots, P_d)$

Cuántico

$\hat{V}: L^2(\mathbb{R}^d; \mathbb{C}) \longrightarrow L^2(\mathbb{R}^d; \mathbb{C})$

Transformación lineal (operator)

$$(\hat{V}\psi)(\vec{r}) = V(\vec{r})\psi(\vec{r})$$

$\hat{P}_i: L^2(\mathbb{R}^d; \mathbb{C}) \longrightarrow L^2(\mathbb{R}^d; \mathbb{C})$

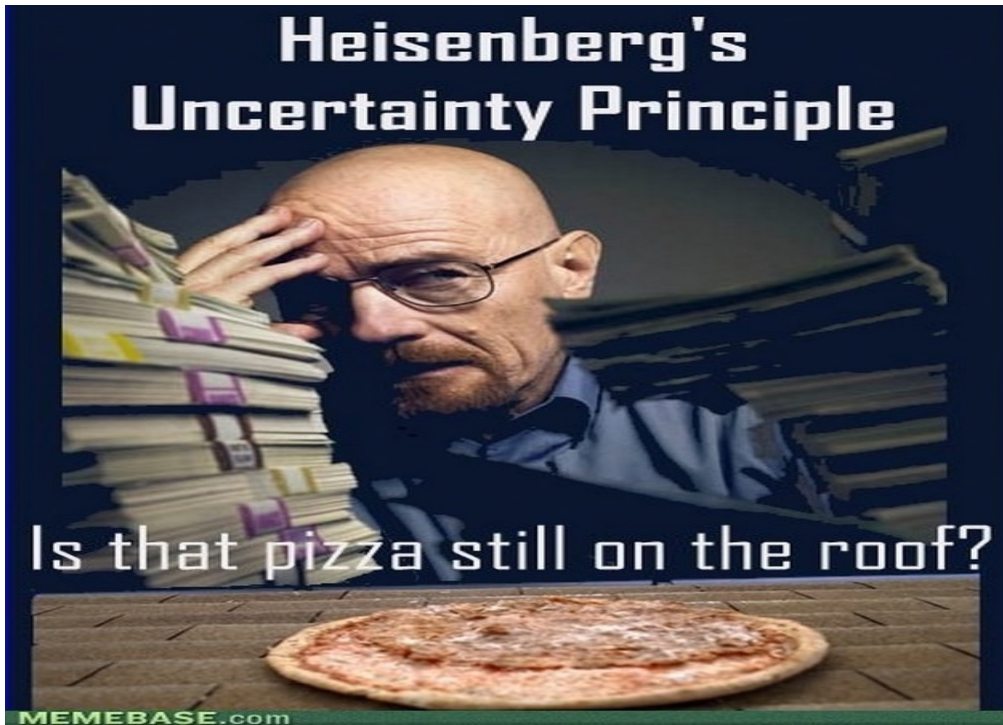
Transformación lineal

$$i=1, \dots, d$$

¿Qué es  $\hat{P}_i\psi$ ?

# Principio de incertidumbre

$$\hbar = 1$$



$$\Delta x \Delta p_x \geq \frac{\hbar}{2}$$

Ley FUNDAMENTAL  
de la física

Versión de operadores:  $\hat{P}_x \hat{x} - \hat{x} \hat{P}_x = i\hbar I$

donde  $(\hat{x} \psi)(x) = x \psi(x)$

La única solución es:

Veamos:  $i\hbar \frac{d}{dx}(x\psi) - x\left(i\hbar \frac{d}{dx}\psi\right) = i\hbar\psi$

$$\boxed{\hat{P}_x \psi = i\hbar \frac{d}{dx} \psi}$$

Clásico

$$E = \frac{\vec{P} \cdot \vec{P}}{2m} + V(\vec{r})$$

Cuántico

$$E\psi = \left[ \frac{1}{2m} \sum_{i=1}^d \hat{P}_i^2 + \hat{V} \right] \psi$$

$\hat{H} \psi$

Operator Hamiltoniano

i.e Se convierte en un problema de eigenvalores

$$\hat{H}\psi = E\psi \quad \text{ó} \quad -\frac{\hbar^2}{2m} \nabla^2 \psi + V(\vec{r})\psi = E\psi$$

Conocida como la Ecuación de Schrödinger  
Para encontrar las E's y las ψ's

# Atiyah: Análisis Funcional y Teoría K

Las matemáticas de la mecánica cuántica se llaman Análisis funcional

(Unión de álgebra lineal, topología, teoría de la medida, etc)

## Sir Michael Atiyah (1929 - 2019)



¿Cómo obtener teoría K usando transformaciones lineales?

$x \mapsto A(x)$ ,  $A(x)$  operador

¿Hay algún espacio vectorial canónico de dimensión finita asociado a  $A(x)$ ?

¿ La dimension del Kernel de una familia de operadores varia continuamente ?

$$(1-t) \begin{pmatrix} 1 & 0 \\ 0 & 1 \end{pmatrix} + t \begin{pmatrix} 0 & 1 \\ 0 & 0 \end{pmatrix} = \begin{pmatrix} 1-t & t \\ 0 & 1-t \end{pmatrix}$$

$$t=0 \quad \ker \begin{pmatrix} 1 & 0 \\ 0 & 1 \end{pmatrix} = \{0\}$$

$$t=1 \quad \ker \begin{pmatrix} 0 & 1 \\ 0 & 0 \end{pmatrix} = \left\{ \begin{pmatrix} 1 \\ 0 \end{pmatrix} \right\}$$

Intuitivamente: Operadores de Fredholm  $F(\mathcal{H})$  son los que tienen  $\dim \text{Kernel}$  "estable"

Atiyah:  $[X, F(\mathcal{H})] \approx K^0(X)$

64<sup>1</sup>

Janich

# PARTE IV

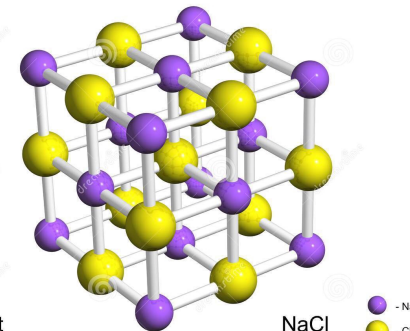
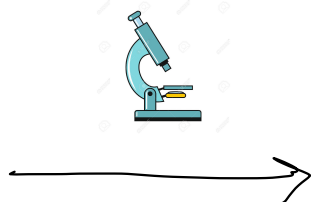
Materia Condensada  
con frontera y Teoría K

**ADVERTENCIA:**

Diseñada para expert@s  
y Profesor@S del departamento

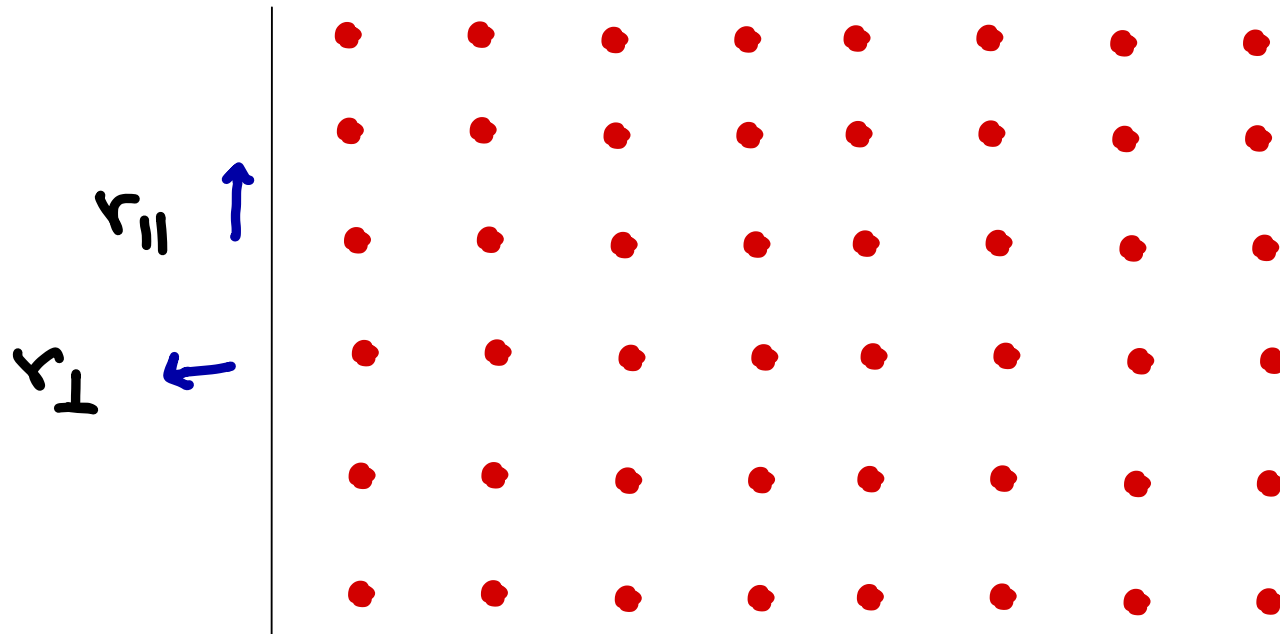
# Materia Condensada Con frontera

Sal



Estructura cristalina de la Sal

Cristal semi-infinito : simetría periódica ( $\mathbb{Z}^{d-1}$ ) excepto en la frontera



$$V(r_{\perp}, \vec{r}_{\parallel} + \vec{a}_{\parallel}) \\ = V(r_{\perp}, \vec{r}_{\parallel})$$

$$\vec{a}_{\parallel} \in \mathbb{Z}^{d-1}$$

$$\begin{matrix} \parallel \\ (a_2, \dots, a_d) \end{matrix} \underbrace{\quad}_{d-1}$$

## Teorema de Bloch de Superficie

Descompongan  $\mathcal{H}$  como Integral directa:

$$\mathcal{H} \approx \bigoplus_{\mathbb{T}^{d-1}} \mathcal{H}_{\vec{k}_{||}} d\vec{k}_{||}; \quad \mathbb{T}^{d-1} = \text{Hom}(\mathbb{Z}^{d-1}, \$)$$

Zona de Brillouin de superficie

Dados  $[\mathcal{H}, U(\vec{a}_{||})] = 0 \quad \forall \vec{a}_{||} \in \mathbb{Z}^{d-1}; \quad U: \mathbb{Z}^{d-1} \rightarrow U(L^2(\mathbb{R}^d))$

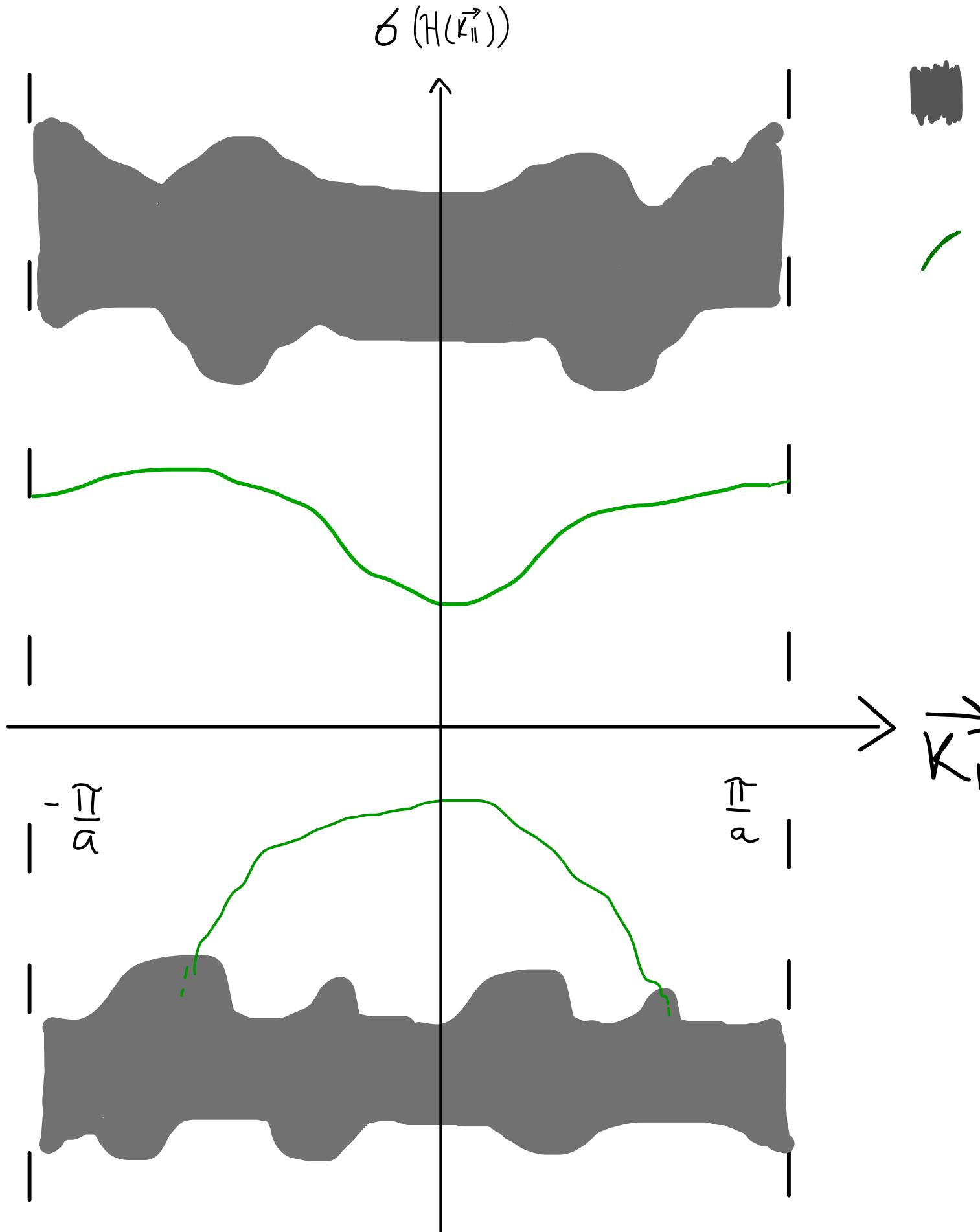
$$\mathcal{H} \approx \bigoplus_{\mathbb{T}^{d-1}} \mathcal{H}(\vec{k}_{||}) d\vec{k}_{||} \quad \mathcal{H}'' = \left( \begin{array}{ccc} (\ )_{k_1} & O & \\ O & (\ )_{k_2} & \dots \end{array} \right)$$

$$\mathcal{H}(\vec{k}_{||}): \mathcal{H}_{\vec{k}_{||}} \rightarrow \mathcal{H}_{\vec{k}_{||}}$$

$$\mathcal{H}(\vec{k}_{||}) = -\partial_{r_{||}}^2 + (i\nabla_{||} - \vec{k}_{||})^2 + V$$

llamado Hamiltoniano de Bloch  
de superficie

$d=2$



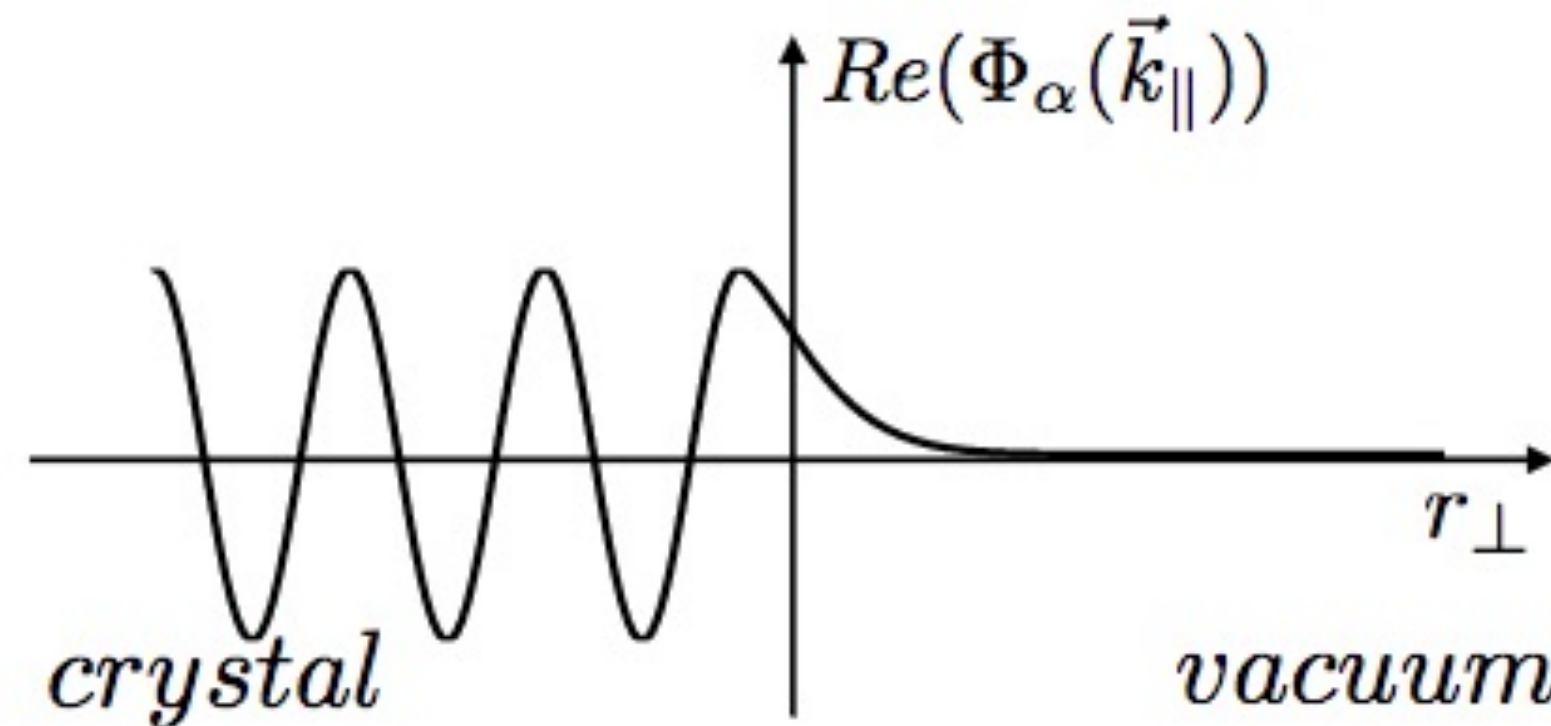
■ Banda Interior  $(\sigma_c(H(\vec{k}_{\parallel})))$   
✓ Banda de Superficie  $(\sigma_p(H(\vec{k}_{\parallel})))$

$\sigma(H(\vec{k}_{\parallel}))$  es continuo como  
función de  $\vec{k}_{\parallel}$

## Tipos de Soluciones

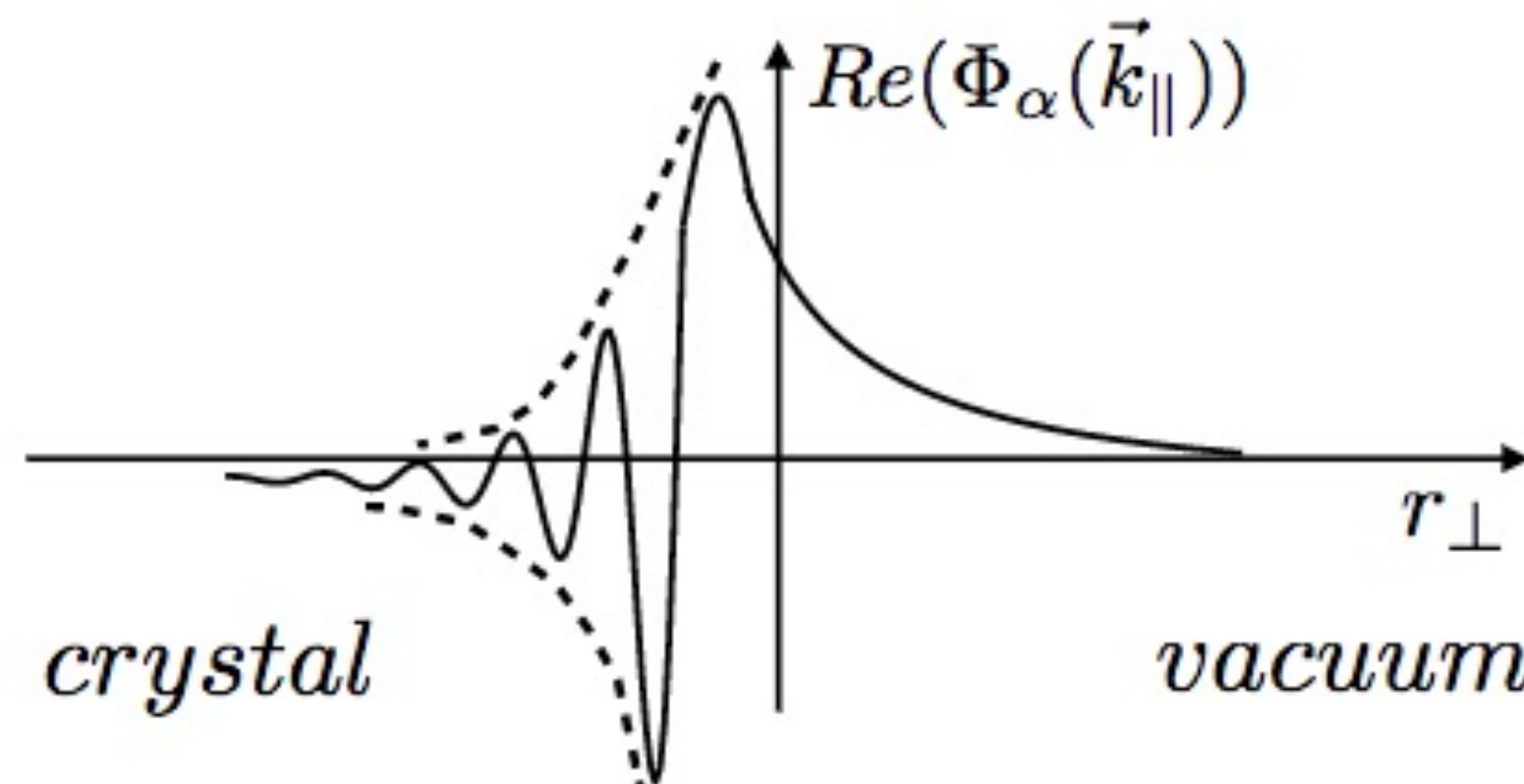
Solución de l  
Interior

(a)



(b)

Solución de  
Superficie



$$\underbrace{P_S \text{ y } P_B}_{\oplus}$$

Sea  $P_S = \int_{\pi^{d-1}} P_{pp}(\vec{k}_{||}) d\vec{k}_{||}$

$n \in \text{Ran } P_S$

$$\iff \lim_{a \rightarrow \infty} \sup_t \int_{|r_{||}| > a} |(e^{-itH} n)(\vec{r})|^2 dr = 0$$

$$P_B = I - P_S = \int_{\pi^{d-1}} P_{ac}(\vec{k}_{||}) d\vec{k}_{||}$$

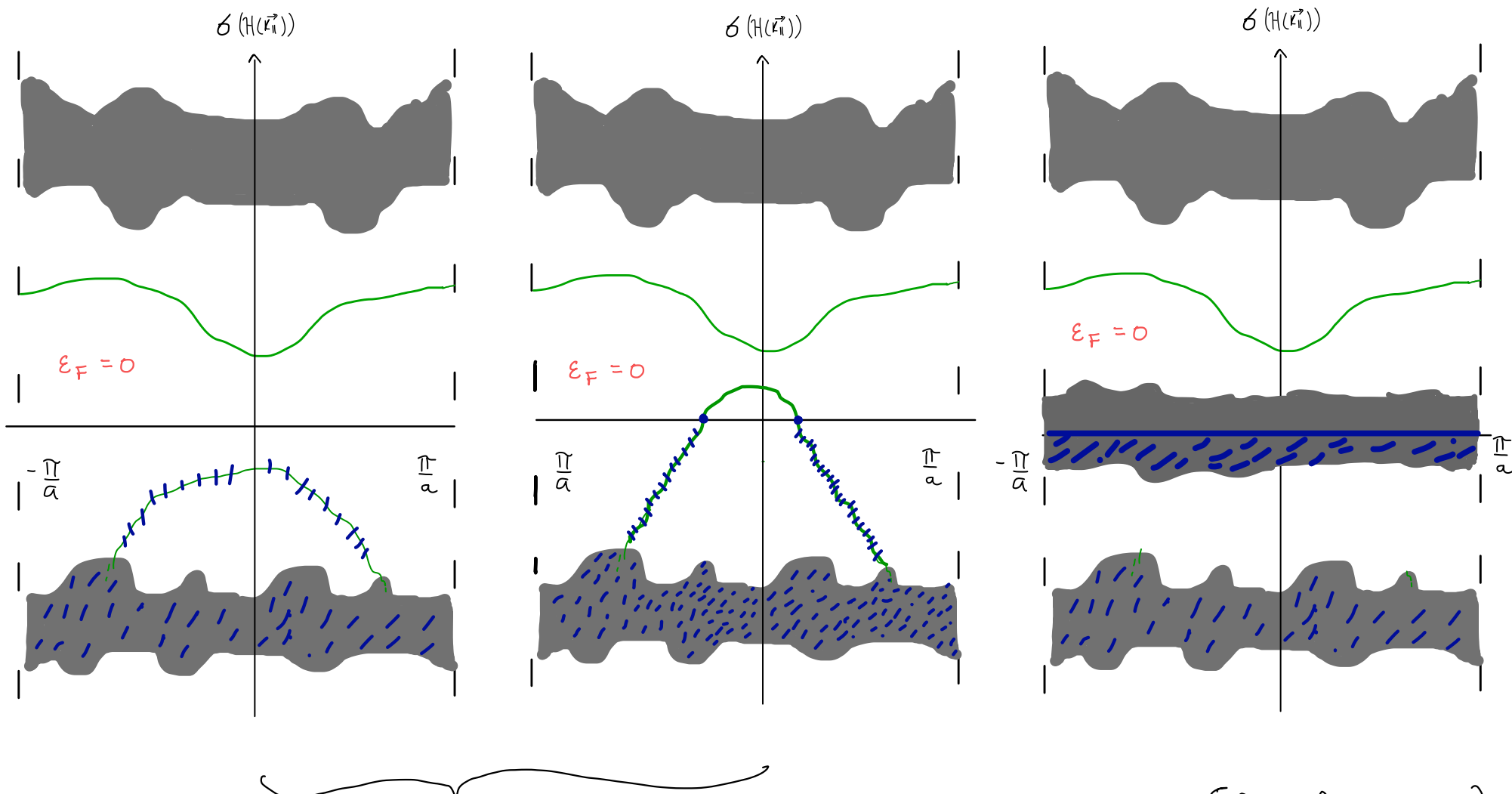
↑ "Cercano a la superficie"

↑ "Lejano a la superficie"

"Aislante"

"Interior aislante"

"Metal"



(Física)

Interior  
ó  
aislante

$H(\vec{k}_{\parallel}) \in \mathcal{F}_*^{sa}$  (MATE)

Resultado técnico  
crucial

# Interior aislante $\Rightarrow$ Teoría K

Adem - Antolín - Semenoff - DS JHEP 2016 (En el foctorado)

$$H: \pi^{d-1} \longrightarrow \tilde{F}_*^{\text{sa}}(\mathcal{H})$$

Fases topológicas de fermiones que no interactúan en un semicristal con interior aislante

Atiyah - Singer 69'

$$\approx K^{-1}(\pi^{d-1})$$



# Resumen Intuitivo

$$[\pi^{d-1}, F_*^{\text{sa}}(\mathcal{H})] \approx K^{-1}(\pi^{d-1})$$

Objeto matemático

$$\pi^{d-1}$$



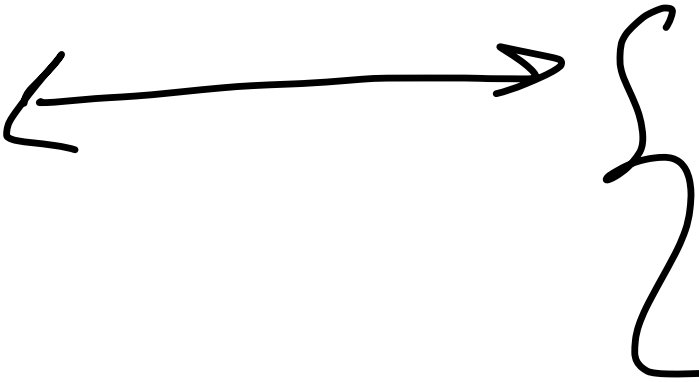
Simetría de traslación discreta  
en  $d-1$  direcciones  $\mathbb{Z}^{d-1}$

$$F_*^{\text{sa}}(\mathcal{H})$$



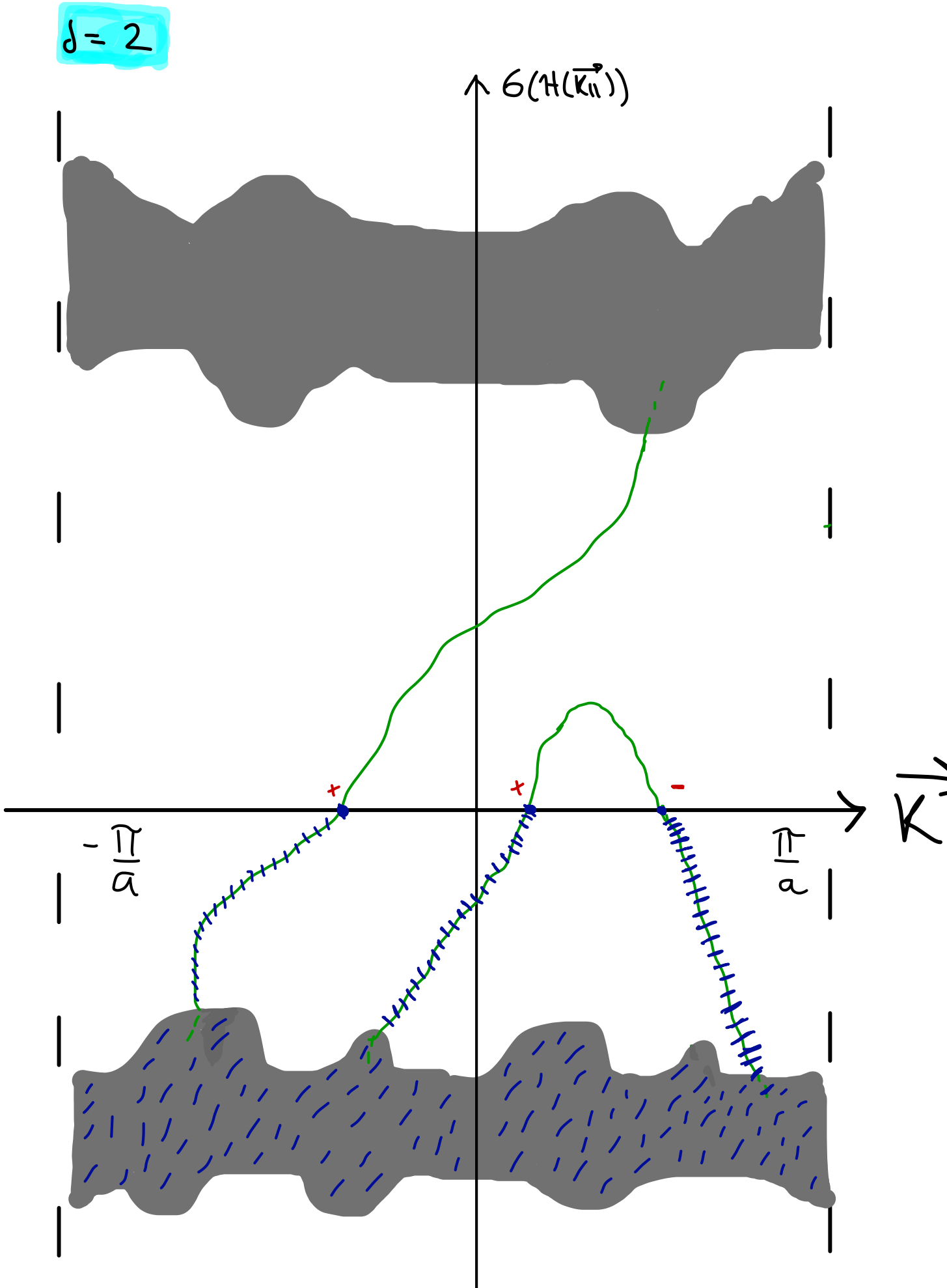
$\left\{ \begin{array}{l} \text{sa} \rightarrow \text{Mecánica Cuántica} \\ F_* \rightarrow \text{Restricción física} \\ \text{sobre } \underline{\text{conductancia}} \end{array} \right.$

$$[ , ]$$



Variar un parámetro:  
Noción de fase Cuántica

## Ejemplo Físico



## EHQI

$$k^{-1}(\pi^{2-1}) = k^{-1}(○)$$

$= \mathbb{Z}$  (Flujo espectral)

$$\#^+ - \#^- = \text{Invariant}$$

Flujo espectral = 1

$$\delta_{\text{Borde}} = 1 + \frac{e^2}{h}$$

# Simetrías = extensiones equivariantes

Agujero-Partícula  $\Xi: \mathcal{H} \rightarrow \mathcal{H}$  antiunitaria

$$\{H, \Xi\} = 0 ; \quad H(\vec{k}_{II}) \Xi = -\Xi H(-\vec{k}_{II}) ; \quad \Xi^2 = \pm I$$

Reversibilidad Temporal  $\Theta: \mathcal{H} \rightarrow \mathcal{H}$  antiunitaria

$$[H, \Theta] = 0 ; \quad H(\vec{k}_{II}) \Theta = \Theta H(-\vec{k}_{II}) ; \quad \Theta^2 = \pm I$$

La zona de Brillouin de superficie  $X_S$  se convierte  
en un espacio  
con involución

$$\tau: X_S \rightarrow X_S, \quad \tau^2 = I_{X_S}, \\ \vec{k}_{II} \mapsto -\vec{k}_{II}$$

Ahora queremos clases de homotopía  
que respeten la involución y las relaciones  
de commutación.

## Haces "Reales" y teoría KR (Atiyah)

Un espacio Real  $(X, \tau)$  es un esp. topológico con involución  $\tau$  i.e  
 $\tau^2 = I$

Un haz vectorial Real  $E \xrightarrow{\rho} X$  es un haz vectorial complejo con involución  $\tilde{\tau}_E$  t.q.

$$\text{i) } P \circ \tilde{\tau}_E = \tau_X$$

$$\text{ii) } \begin{array}{ccc} \mathbb{C} \times E_x & \longrightarrow & E_x \\ \downarrow & & \downarrow \\ \mathbb{C} \times E_{\tau(x)} & \longrightarrow & E_{\tau(x)} \end{array}$$

La completación de Grothendieck de las clases de isomorfismos  
de haces vectoriales Reales sobre  $X$  se denota como KR(X)

$$KR^{-8}(X) \approx KR(X) \quad \left( \begin{array}{l} \text{(Periodicidad de)} \\ \text{Bott} \end{array} \right)$$

## Equivariant Whitehead + Matumoto

### Whitehead

$X, Y$  complejos  $G$ -CW

$X \xrightarrow{f} Y$  es una equiv.  $G$ -homotópica

$\Leftrightarrow f^H : X^H \rightarrow Y^H$  es una equiv. homotópica  
 $\forall H \subseteq G$ , subgrupo cerrado

### Matumoto

$$[X, F(\mathcal{M}_R)]_{c_2} \approx KR(X)$$

$$[X, F(\mathcal{M}_Q)]_{D_2} \approx KH(X)$$

Donde  $KH$  es para maces cuya involución es de orden 4.

Using the equivariant version of Whitehead + Matumoto  
 we have the following results

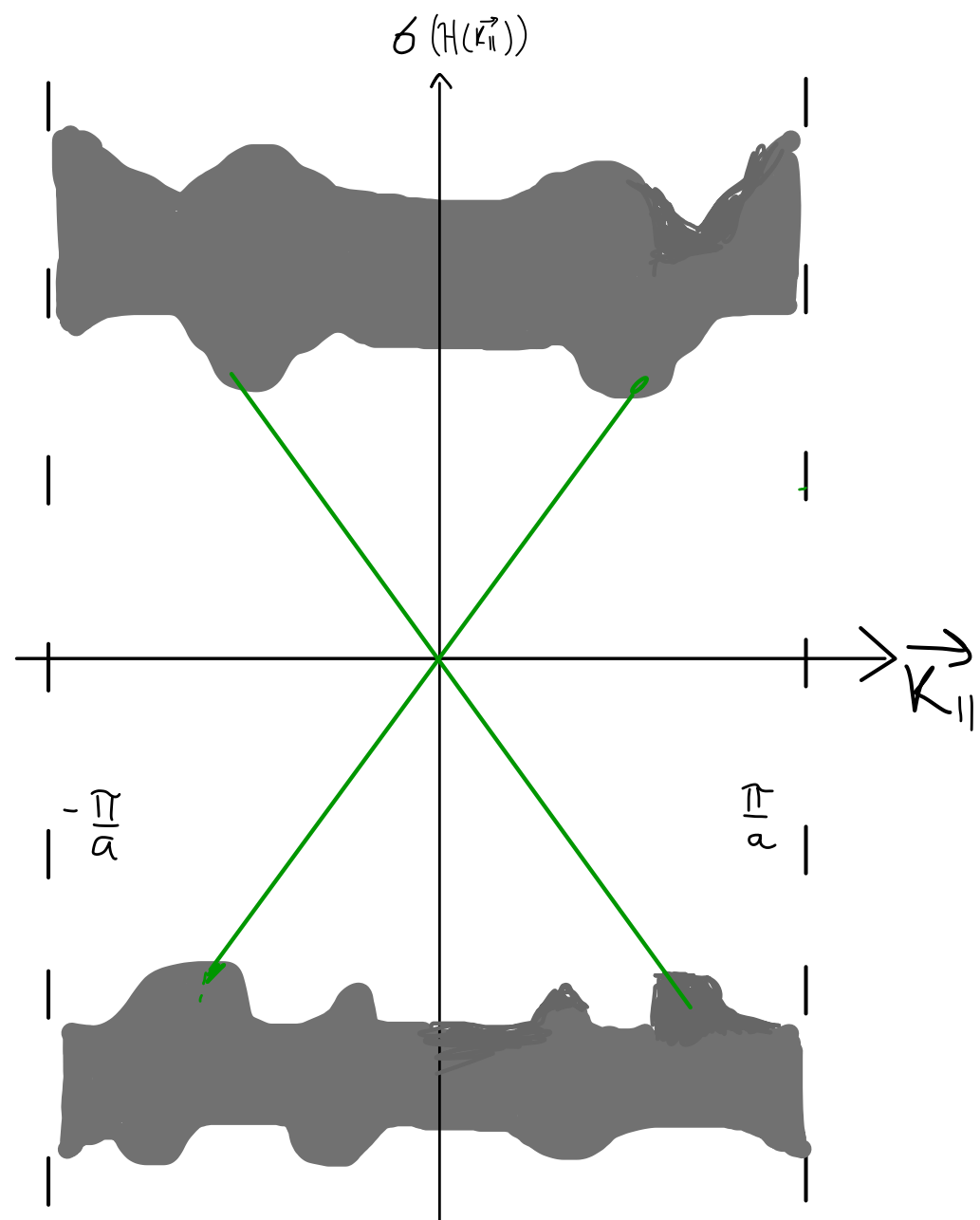
$$[X_S, F_*^{\text{sa}}(\mathfrak{sl}_r')]_{\mathbb{G}^2 = I} \approx KR^{-1}(x_s)$$

$$[X_S, F_*^{\text{sa}}(\mathfrak{sl}_q')]_{\mathbb{G}^2 = -I} \approx KH^{-1}(x_s)$$

$$[X_S, F_*^{\text{sa}}(\mathfrak{sl}_r')]_{\theta^2 = I} \approx KR^{-7}(x_s)$$

$$[X_S, F_*^{\text{sa}}(\mathfrak{sl}_q')]_{\theta^2 = -I} \approx KH^{-7}(x_s)$$

$$d=2, \Theta^z = -I$$



Efecto Hall  
Quántico de espín

$$KH^{-1}(S^1) \cong \mathbb{Z}_2$$

# Cruces  
mod 2.

# Resultados

Adem, Antolín, Semenoff

$\gamma$  DS

Symmetry			$d$		
$AZ$	$\Theta$	$\Xi$	1	2	3
$A$	0	0	0	$\mathbb{Z}$	$\mathbb{Z}^2$
$AI$	$I$	0	0	0	0
$AII$	$-I$	0	0	$\mathbb{Z}_2$	$\mathbb{Z}_2^3$
$D$	0	$I$	$\mathbb{Z}_2$	$\mathbb{Z} \oplus \mathbb{Z}_2$	$\mathbb{Z}^2 \oplus \mathbb{Z}_2$
$C$	0	$-I$	0	$\mathbb{Z}$	$\mathbb{Z}^2$

## PARTE $\text{\textcircled{V}}$ (Breve)

Generalizaciones

y

Su contexto en la

matemática actual.

# Interacciones: Un nuevo mundo

Todo lo anterior es bajo la aproximación  
de que los electrones no interactúan

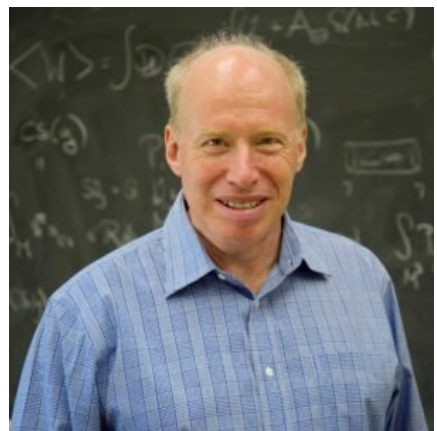
(Sorprendentemente se puede llegar muy lejos así)

¿Cuál es el problema de agregar  
interacciones entre electrones?

○ Cuál no!

Se sabe muchísimo menos  
sobre estos casos y hay  
propuestas distintas

# La propuestas de los topólogos Alg.



Dan Freed  
(Austin)



Mike Hopkins  
(Harvard)

"Fases topológicas  
protegidas  
por simetrías"  
Denotadas

SPT

Yoshiko  
ogata



Teorías cuánticas de campos  
topológicas invertibles      ▲ Están  
desarrollando topología algebraica nueva!

Hay otras propuestas . . . . .  
▲ Incluso de  
matemáticos!

# Grups cristal·logràfics

$$\delta = 2$$

## Els 17 grups de simetria a l'Alhambra

400 anys abans que Fedorov demostràs l'existència de 17 grups cristal·logràfics plans, els àrabs ja ho havien posat de manifest a l'Alhambra de Granada.



p6



p6m



p4



p4g



p1



p3



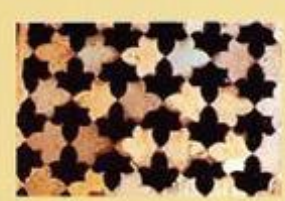
p31m



p4m



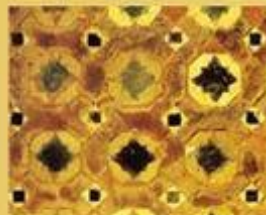
cm



cmm



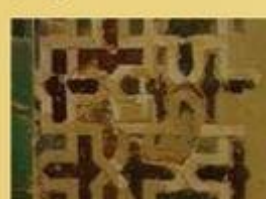
pm



pmm



pmg



p2



pg



pgg



p3m1

DS y G. Antolín (JHEP 2021)

Fases Topológicas con interacción no  
degeneradas y periódicas cristalinas

$$= H^2_P(\mathbb{T}^d; \mathbb{Z}) ; \quad P \text{ grupo cristalográfico puntual}$$

Comparación con la literatura en SPT, en  $\delta=2$ :

$G$	$P$	$H^2(G; \mathbb{Z})$	$H^4(G; \mathbb{Z})$
p2	$\mathbb{Z}_2$	$\mathbb{Z} \oplus \mathbb{Z}_2^3$	$\mathbb{Z}_2^4$
p3	$\mathbb{Z}_3$	$\mathbb{Z} \oplus \mathbb{Z}_3^2$	$\mathbb{Z}_3^3$
p4	$\mathbb{Z}_4$	$\mathbb{Z} \oplus \mathbb{Z}_2 \oplus \mathbb{Z}_4$	$\mathbb{Z}_2 \oplus \mathbb{Z}_4^2$
p6	$\mathbb{Z}_6$	$\mathbb{Z} \oplus \mathbb{Z}_6$	$\mathbb{Z}_2^2 \oplus \mathbb{Z}_3^2$
pm	$\mathbb{Z}_2$	$\mathbb{Z}_2^2$	$\mathbb{Z}_2^2$
cm	$\mathbb{Z}_2$	$\mathbb{Z}_2$	$\mathbb{Z}_2$
pmm	$D_2$	$\mathbb{Z}_2^4$	$\mathbb{Z}_2^8$
cmm	$D_2$	$\mathbb{Z}_2^3$	$\mathbb{Z}_2^5$
p31m	$D_3$	$\mathbb{Z}_3 \oplus \mathbb{Z}_2$	$\mathbb{Z}_2 \oplus \mathbb{Z}_3$
p3m1	$D_3$	$\mathbb{Z}_2$	$\mathbb{Z}_2$
p4m	$D_4$	$\mathbb{Z}_2^3$	$\mathbb{Z}_2^6$
p6m	$D_6$	$\mathbb{Z}_2^2$	$\mathbb{Z}_2^4$

# Grupo actual

J.E Barrios-Vargas



A. Martínez-Ruiz



L. Urrutia



Química

O. Antolín



I  
M  
A  
T  
E

ICN

## Conclusiones

- \* La topología de las "fases topológicas" es topología algebraica.
- \* ¿Topología de qué? De familias de operadores parametrizadas por un toro
- \* Teoría K sale de usar las conexiones encontradas por Atiyah con análisis func.
- \* Si quieren platicar mas, contactame:  
[jshein @ ciencias.unam.mx](mailto:jshein@ciencias.unam.mx)